

# مدل سازی عددی شکست هیدرولیکی در مخازن نفتی با اجزاء محدود توسعه یافته

مصطفی ملاعلی (دانشجوی کارشناسی ارشد)

محمود یزدانی \* (استادیار)

دانشکده‌ی هندسی عمران و محیط‌زیست، دانشگاه تربیت مدرس

از جمله روش‌های استخراج نفت و گاز، شکست هیدرولیکی است که طی آن، سیالی با فشاری بیشتر از تنفس برجای منطقه به محلی از چاه که توسط پکرها ایزوله شده است، تزریق می‌شود و در نهایت، زمانی که فشار سیال از تنفس برجای حاکم بر منطقه فراتر رود، شکست هیدرولیکی رخ خواهد داد. یکی از جدیدترین روش‌های عددی جهت مدل‌سازی شکست هیدرولیکی روش اجزاء محدود توسعه یافته است. در این روش، با توجه به اصل تفکیک پیوستگی در اثر اعمال تراکمی و پیزه، گره‌های اطراف ترک غنی می‌شوند و در نتیجه درجات آزادی گره‌ها افزایش می‌یابند و به واسطه‌ی همین درجات آزادی، بیشتر امکان تغییر در جابجایی‌های گرهی اطراف ترک فراهم می‌آید. در این پژوهش، برای انجام مدل‌سازی، یک برنامه‌ی رایانه‌ی به روش اجزاء محدود توسعه یافته نوشته شده است. برای صحبت سنجی برنامه‌ی رایانه‌ی، نتایج آن با یک حل تحلیلی دو بعدی مقایسه شده و درستی آن به تأیید رسیده است.

m.molaali@gmail.com  
myazdani@modares.ac.ir

واژگان کلیدی: شکست هیدرولیکی، مخازن نفتی، اجزاء محدود توسعه یافته.

## ۱. مقدمه

شکست هیدرولیکی اولین بار در سال ۱۹۳۵ در صنعت نفت و گاز آغاز شد، زمانی که شرکت دو کمیکال<sup>۱</sup> پی برد که با استفاده از فشار کافی سیال در گمانه، تغییرشکل و شکستگی سنگ مؤثث‌تر از روش تحریک اسید است.<sup>[۱]</sup> اولین آزمایش شکست هیدرولیکی غیراسیدی جهت تحریک مخزن در سال ۱۹۴۷ در کانزاس<sup>۲</sup> بر روی یک چاه گاز در حوزه‌ی نفتی هوگوتون<sup>۳</sup> برای مقایسه‌ی این روش با تکنولوژی تحریک اسید انجام گرفت.<sup>[۲]</sup> در حال حاضر، شکست هیدرولیکی برای افزایش بهره‌وری چاه‌های نفت و گاز مورد استفاده قرار می‌گیرد. از چاه‌های تولیدی حفر شده در شمال امریکا از سال ۱۹۵۰ تاکنون حدود ۷۰ درصد چاه‌های گاز و ۵۰٪ چاه‌های نفت به روش شکست هیدرولیکی افزایش ظرفیت باقیماند.<sup>[۲]</sup>

شکست هیدرولیکی به عملیاتی اطلاق می‌شود که طی آن سیالی با فشاری بیشتر از تنفس برجای منطقه به محلی از چاه، که توسط پکرها ایزوله شده است، تزریق می‌شود و در نهایت، زمانی که فشار سیال از تنفس برجای حاکم بر منطقه فراتر رود، شکست هیدرولیکی رخ خواهد داد. در فرآیند شکست هیدرولیکی، ترک‌هایی از دیواره‌ی چاه به سوی مخزن نفت و گاز ایجاد می‌شود. پس از اتمام پمپاژ سیال، در اثر نشت سیال به مخزن، فشار وارد به دیواره‌ی ترک کاهش می‌یابد و ترک بسته می‌شود. به منظور جلوگیری از بسته شدن ترک و حفظ قابلیت هدایت هیدرولیکی آن (که اثر مهمی در افزایش تولید چاه دارد)، از موادی به نام پروپانت<sup>۴</sup> استفاده می‌کنند (شکل ۱).

مدل KGD<sup>۵</sup>، اولین مدل جهت پیش‌بینی شکل هندسی ترک ایجاد شده طی

با گذشت بیش از ۱۰۰ سال از فرآیند استخراج نفت و گاز از منابع انرژی کشور، متأسفانه در حال حاضر شاهد هستیم که بسیاری از این مخازن به ویژه آنها که دارای نفوذپذیری بالایی بوده‌اند، به تدریج رو به اتمام هستند. از این رو، گرایش به سمت مخازن با نفوذپذیری پایین بیشتر شده است. (همچنین پس از استخراج طولانی مدت محصولات هیدرولیکی، فشار طبیعی مخزن کاهش می‌یابد و ترک‌های اولیه مسدود می‌شوند و تولید مخزن پایین می‌آید). بنابراین، برای بهره‌برداری بهینه و احیاء این مخازن، لازم است که عملیات اضافی روی آنها صورت گیرد. این عملیات اضافی، افزایش بازده چاه را در پی دارد.

دستیابی به نقاط مختلف مخازن نفت از طریق حفر چاه در مخزن موردنظر انجام می‌شود. پس از حفر چاه، نفت به سیله‌ی جریان در محیط متنقل می‌شود. چاه حرکت می‌کند و نفت استحصال شده از طریق چاه به خارج منتقل می‌شود. جریان ورودی از مخزن به چاه، ندرتاً مطابق دبی پیش‌بینی شده است؛ زیرا در اثر پایین بودن نفوذپذیری مخزن و یا خدمات وارد شده به مخزن، محدودیتی در جریان سیال ایجاد و مجاری انتقال سیال از مخزن به چاه مسدود می‌شود. جهت رفع این مشکل و افزایش ارتباط چاه با مخزن معمولاً از روش‌های تحریک استفاده می‌شود.

به طور کلی دو روش اسیدکاری و شکست هیدرولیکی جهت تحریک وجود دارند، که روش انتخابی مورد استفاده به هدف نهایی فرآیند تحریک بستگی دارد.

\* نویسنده مسئول

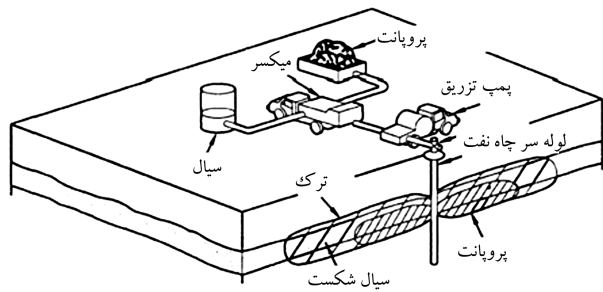
تاریخ: دریافت ۱۳۹۰/۱۲/۱۳، اصلاحیه ۳۱، پذیرش ۱۳۹۲/۰۳/۱۷.

در سه دهه اخیر روش‌های مختلفی برای مدل‌سازی عددی شکست هیدرولیکی به کار گرفته شده است. گستره‌سازی معادلات کشسانی در شکست هیدرولیکی با استفاده از روش‌های تحلیل تغییرمکان ناپیوسته (DDA)،<sup>۷</sup> اجزاء محدود، تقاضل محدود و روش المان مرزی انجام شده است.

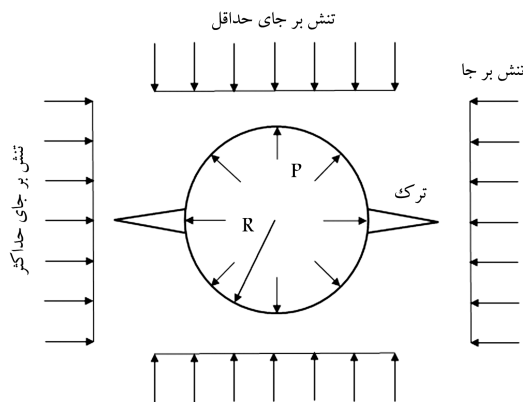
در پژوهشی در سال ۱۹۸۵، از روش المان مرزی برای حل مدل ترک سکته‌یی و از روش تقاضل محدود برای مدل‌سازی جریان سیال در ترک استفاده شده است.<sup>[۶]</sup>

در سال ۱۹۹۳ نیز روش DDA برای مدل‌سازی شکست هیدرولیکی به کار برده شده است.<sup>[۷]</sup> همچنین در مطالعه‌ی دیگری در سال ۱۹۸۲ از روش اجزاء محدود برای گستره‌سازی فرمولاسیون شکست هیدرولیکی استفاده شده است.<sup>[۸]</sup>

یکی از جدیدترین روش‌های عددی برای مدل‌سازی شکست هیدرولیکی، روش اجزاء محدود توسعه‌یافته (XFEM)<sup>[۹]</sup> است. اولین بار در پژوهشی در سال ۲۰۰۸ از این روش برای مدل‌سازی شکست هیدرولیکی استفاده شد، و با فرض قرارگیری ترک بر روی لبه‌های المان‌ها، شکست هیدرولیکی مدل‌سازی شد، که با این فرض از مزیت اصلی XFEM، که در آن الزامی به تطبیق مش با ترک وجود ندارد، استفاده نشد. ضمناً در پژوهش مذکور هیچ اشاره‌یی به مسئله‌ی انتشار ترک و فرآیند عملکرد توانمن تغییرشکل سنگ و جریان سیال در ترک نشده است.<sup>[۹]</sup> و در سال ۲۰۰۹ نیز شکست هیدرولیکی در تونل تحت فشار و سدهای بتُنی با فرض فشار ثابت، با روش اجزاء محدود توسعه‌یافته مدل‌سازی شد.<sup>[۱۰]</sup>



شکل ۱. طرح وارهی شکست هیدرولیکی.



شکل ۲. مقطع افقی یک چاه قائم تحت تنש‌های برجا و فشار گمانه.<sup>[۵]</sup>

## ۲. المان محدود توسعه‌یافته

روش المان محدود (FEM) از اوایل دهه ۱۹۶۰ میلادی کاربرد گسترده‌یی در حل مسائل مهندسی داشته است.<sup>[۱۱]</sup> گسترش کاربرد این روش به دلیل محدوده‌ی وسیع مسائل قابل حل توسط این روش است. علی‌رغم موفقیت روش المان محدود استاندارد در حل مسائل مهندسی، این روش برای مدل‌کردن ترک در شاخه‌ی مکانیک شکست با دشواری‌هایی روبرو بوده است.

روش المان محدود به صورت ذاتی براساس پیوستگی المان‌هاست و با چند جمله‌یی‌های جبری توزیع خواص در المان به صورت پیوسته توجیه می‌شود و عملاً برای چند جمله‌یی‌های جبری امکان مدل‌کردن ناپیوستگی‌ها در محدوده‌ی المانی فراهم نیست. بنابراین در حل مسائلی که شرایط ناپیوستگی (مانند ترک) و حالت تکینه وجود دارد، تحلیل به روش المان محدود به سادگی میسر نخواهد بود. در این روش، المان‌ها در اطراف ناحیه‌یی قرار داده می‌شوند (تطبیق مش با ناپیوستگی). علاوه بر این، برای دسترسی به شرایط تکینه نیز باید با تغییر در ساختار المان‌های اطراف ناحیه‌یی مورد نظر (نوك ترک) امکان دستیابی به آن وضعیت را فراهم آورد.

از این رو در سال ۱۹۹۹ میلادی روشی برای المان محدود به نام المان محدود توسعه‌یافته (X-FEM) بینان‌گذاری شد تا امکان مدل‌کردن ساده‌ی ناپیوستگی‌هایی مانند ترک فراهم شود.<sup>[۱۲]</sup> از ویژگی‌های این روش بی‌نیازی از تطبیق مش با ترک، امکان استفاده از المان‌های درشت‌تر در اطراف ترک و عدم استفاده از المان‌های تکینه در اطراف نوك ترک است، که رشد مرحله‌ی ترک‌ها را به صورت سریع ممکن می‌سازد.

روش المان محدود توسعه‌یافته بر مبنای استفاده از توابع غنی‌ساز مناسب در گره‌های اطراف ناحیه‌یی ترک‌خورده استوار است. توابع غنی‌ساز درجهات آزادی گره‌های اطراف ترک را افزایش می‌دهند و از این طریق شرایط ناپیوسته‌ی داخل المانی را

عملیات شکست هیدرولیکی است. علاوه‌بر این، فرض فیزیکی که مدل KGD بر آن تکیه دارد، این است که سطح ترک در بالا و پایین به طور آزاد حرکت می‌کند در نتیجه‌ی این امر، سطح مقطع ترک به صورت مستطیلی و عرض ترک در راستای قائم ثابت ولی در راستای طولی از مقدار بیشینه در نزدیکی چاه تا مقدار صفر در نوک ترک متغیر است.<sup>[۱۳]</sup>

در مدل PKN<sup>[۹]</sup> نیز فرض بر این است که ارتفاع ترک ثابت است. مقطع عرضی ترک به صورت منحنی شکل است، به طوری که عرض ترک در قسمت میانی مقطع بیشینه است و در راستای طول ترک از مقدار بیشینه در نزدیک چاه تا مقدار صفر در نوک ترک متغیر است.<sup>[۱۴]</sup>

در اوخر دهه ۱۹۷۰ میلادی، قیمت نفت و گاز افزایش چشمگیری پیدا کرد، به طوری که از لحاظ اقتصادی تمایل به استحصال مخازن با نفوذ بدیری کم را افزایش داد. با توجه به این افزایش قیمت و همچنین کمبودهای موجود در مدل‌های موجود تا آن زمان، پژوهش بیشتر بر روی مدل‌های شکست را توجیه بدیر کرد. مدل‌های موجود آن زمان برای مخازن لایه‌یی کاربردی نبوده است. در این راستا مدل P3D در دهه ۱۹۸۰، برای درنظرگرفتن حالت چند لایه‌یی توسعه پیدا کرد که در واقع نلاشی برای درک رفتار فیزیکی یک شکست هیدرولیکی سه بعدی صفحه‌یی بود.

این مدل به عنوان توسعه‌یی مدل کلاسیک PKN برای شبیه‌سازی انتشار یک ترک عمودی در مخزن لایه‌یی افقی است.<sup>[۱۵]</sup>

شکست هیدرولیکی در راستای عمود بر کوچک‌ترین تنش اصلی رشد می‌کند و تعایل به بازشدن در راستای کمترین مقاومت را دارد (شکل ۲).

از جمله کاربردهای شکست هیدرولیکی می‌توان به تعیین تنش‌های برجای منطقه، استخراج نفت و گاز، ایجاد مخازن نگهداری زیرزمینی گاز در سنگ نمک، استحصال انرژی زمین گرمایی، ایجاد زلزله‌های مصنوعی و... اشاره کرد.

که در آن،  $N$  مجموعه‌ی همه‌ی گره‌های مش،  $N_\Gamma$  مجموعه‌ی گره‌های غنی‌سازی شده با تابع پله‌ی و  $N_\wedge$  مجموعه‌ی گره‌هایی است که با تابع تکینه غنی‌سازی شده‌اند.  $n_u$  درجات آزادی المان محدود معمولی،  $a_i$  درجات آزادی غنی‌سازی گره‌هایی که توسط تابع پله‌ی غنی‌سازی شده‌اند و  $\alpha$  درجات آزادی غنی‌سازی گره‌هایی گره‌هایی است که توسط تابع نوک ترک غنی‌سازی شده‌اند. برای المان‌های شامل تابع غنی‌سازی  $(x) H(x)$  و / با  $F_\alpha$  بازشدنگی بین سطوح ترک از رابطه‌ی ۴ به دست می‌آید:

$$w = n \cdot (u^+ - u^-) = 2n \cdot \sum_{j \in N_\Gamma} N_j a_j + 2N \cdot \sqrt{r} \sum_{k \in N_\wedge} N_k b_k \quad (4)$$

برای المان‌هایی که گره‌های آنها با تابع نوک ترک غنی‌سازی شده‌اند، فقط جمله‌ی دوم معادله‌ی ۴ مؤثر است؛ در حالی که برای المان‌هایی که گره‌های آنها با تابع پله‌ی غنی‌سازی می‌شوند، فقط جمله‌ی اول مؤثر است.

مدل می‌کنند. با تغییر در نوع تابع غنی‌سازی، شرایط تکینه در اطراف نوک ترک نیز فراهم می‌شود.

توابعی که برای غنی‌سازی یک دامنه‌ی ترک خورده مورد استفاده قرار می‌گیرند، شامل ۲ گروه هستند. تابعی که بیانگر بازشدنگی ترک است و توابعی که بیانگر تکینگی نوک ترک هستند. برای تعیین نوع تابع مناسب برای غنی‌سازی گره‌ی، محل برخورد ترک با اضلاع المان‌ها مشخص می‌شود. اگر ترک دو ضلع یک المان را قطع کند، از تابع پله‌ی واحد یا تابع پرشی واحد<sup>۹</sup> جهت غنی‌سازی گره‌های اطراف آن المان استفاده خواهد شد. اگر ترک فقط یکی از اضلاع المان را قطع کند و نقطه‌ی برخورد دیگری نداشته باشد، یا به عبارت دیگر نوک ترک داخل المان باشد، برای گره‌های اطراف آن المان، غنی‌سازی به روش تابع تکینه<sup>۱۰</sup> انجام خواهد شد.<sup>[۱۲]</sup> چنانچه یک گره بین المان‌های کاملاً ترک خورده و المان‌های حاوی نوک ترک مشترک باشد، توسط تابع تکینه غنی‌سازی خواهد شد. شکل ۳، نحوه‌ی غنی‌سازی گره‌ها توسط توابع را به خوبی نشان می‌دهد.

برای غنی‌سازی از طریق تابع پله‌ی واحد از یک تابع دو مقداری  $H$  استفاده می‌شود. چنانچه گره‌ی غنی‌شونده، بالا یا روی ترک قرار گرفته باشد، مقدار این تابع<sup>۱۱</sup> و در غیر این صورت<sup>۱۲</sup> خواهد بود (رابطه‌ی ۱):

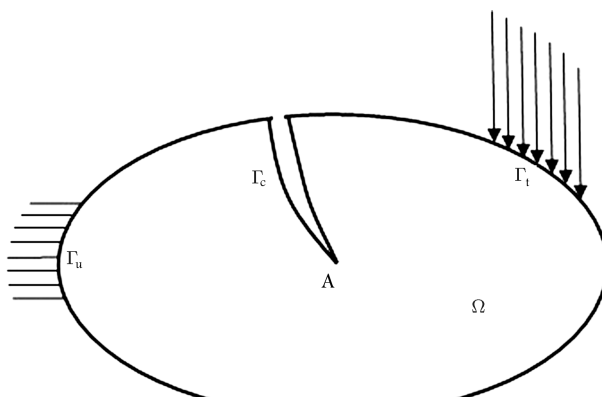
$$H(x) = \text{sign}(\varphi(x)) = \begin{cases} +1 & x > 0 \\ -1 & x < 0 \end{cases} \quad (1)$$

غنی‌سازی در گره‌های المان حاوی نوک ترک از طریق تابع تکینه انجام می‌شود (رابطه‌ی ۲):<sup>[۱۴]</sup>

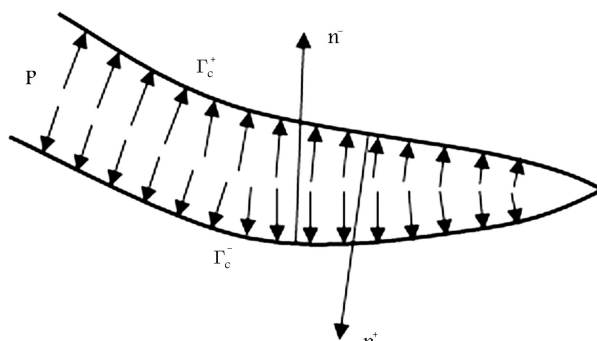
$$F_\alpha(r, \theta) = \left\{ \sqrt{r} \sin \frac{\theta}{2}, \sqrt{r} \cos \frac{\theta}{2}, \sqrt{r} \sin \theta \sin \frac{\theta}{2}, \sqrt{r} \sin \theta \cos \frac{\theta}{2} \right\} \quad (2)$$

که در آن،  $r$  و  $\theta$  شعاع و زاویه در مختصات چسبیده به نوک ترک هستند. رابطه‌ی جابجاگی در حالت کلی در المان‌های غنی‌شده به صورت رابطه‌ی ۳ در می‌آید:<sup>[۱۵]</sup>

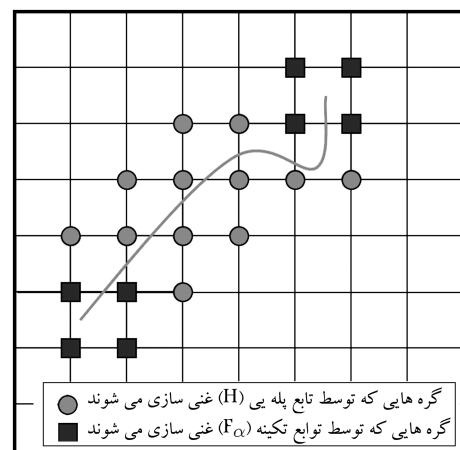
$$u^h = \sum_{i \in N} N_i(x) \left[ u_i + H(x) a_i + \sum_{\alpha=1}^4 F_\alpha b_i^\alpha \right] \quad (3)$$



شکل ۴. طرح وارهی دامنه‌ی ترک خورده.<sup>[۱]</sup>



شکل ۵. طرح وارهی جربان سیال در ترک.<sup>[۶]</sup>



شکل ۳. نمایش گره‌های غنی‌شده در یک المان‌بندی ترک‌دار.

$$u^h \text{ بردار درجات آزادی گره است (رابطه‌ی ۱۵):}$$

$$u^h = \{u \quad a \quad b_1 \quad b_2 \quad b_3 \quad b_4\}^T \quad (15)$$

$p^+$  و  $n^-$  هستند. فشار سیال  $p$  بر روی سطوح ترک اعمال می‌شود. فشار  $p^+$  و  $p^-$  به ترتیب بر روی  $\Gamma_c^+$  و  $\Gamma_c^-$  وارد می‌شود.

معادلات تعادل حاکم را می‌توان به صورت رابطه‌های ۵ الی ۸ نوشت:

$$\nabla \cdot \sigma + f^b = 0 \quad \Omega \quad (5)$$

$$\sigma \cdot n = f^t \quad \Gamma_t \quad \text{روی} \quad (6)$$

$$u = \bar{u} \quad \Gamma_u \quad \text{روی} \quad (7)$$

$$\sigma \cdot n^- = -\sigma \cdot n^+ = p^+ = -p^- = p \quad \Gamma_c \quad \text{روی} \quad (8)$$

$$K_{ij}^{rs} = \int_{\Omega_e} (B_i^r)^T D B_j^s d\Omega \quad (r, s = u, a, b) \quad (16)$$

$$f_i^u = \int_{\Gamma_t} N_i f^t d\Gamma + \int_{\Omega_e} N_i f^b d\Omega \quad (17)$$

$$f_i^a = \int_{\Gamma_t} N_i H f^t d\Gamma + \int_{\Omega_e} N_i H f^b d\Omega + 2 \int_{\Gamma_c} n \cdot N_i p d\Gamma \quad (18)$$

$$f_i^{b\alpha} = \int_{\Gamma_t} N_i F_\alpha f^t d\Gamma + \int_{\Omega_e} N_i F_\alpha f^b d\Omega + 2 \int_{\Gamma_c} n \sqrt{r} \cdot N_i p d\Gamma \quad (19)$$

$$(\alpha = 1, 2, 3, 4)$$

در معادله‌ی ۱۶  $B$  ماتریس مشتق تابع شکل است (رابطه‌های ۲۰ الی ۲۳):

$$B_i^u = \begin{bmatrix} N_{i,x} & \circ \\ \circ & N_{i,y} \\ N_{i,y} & N_{i,x} \end{bmatrix} \quad (20)$$

$$B_i^a = \begin{bmatrix} (N_i H)_{,x} & \circ \\ \circ & (N_i H)_{,y} \\ (N_i H)_{,y} & (N_i H)_{,x} \end{bmatrix} \quad (21)$$

$$B_i^b = \begin{bmatrix} B_i^{b1} & B_i^{b2} & B_i^{b3} & B_i^{b4} \end{bmatrix} \quad (22)$$

$$B_i^\alpha = \begin{bmatrix} (N_i F_\alpha)_{,x} & \circ \\ \circ & (N_i F_\alpha)_{,y} \\ (N_i F_\alpha)_{,y} & (N_i F_\alpha)_{,x} \end{bmatrix} \quad (\alpha = 1, 2, 3, 4) \quad (23)$$

#### ۴. مدل توامان<sup>۱۲</sup> شکست هیدرولیکی

شبیه‌سازی مدل شکست هیدرولیکی، روشی است که در آن طول، عرض ترک و توزیع فشار سیال با گذشت زمان تغییر می‌یابد. حتی در ساده‌ترین شکل، شکست هیدرولیکی برای مدل سازی فرآیندی پیچیده است که در آن دستکم اثر توامان<sup>۳</sup> فرآیند باید در نظر گرفته شود: (I) تغییرشکل مکانیکی ناشی از فشار سیال بر روی سطوح ترک، (II) جریان سیال در ترک، و (III) انتشار ترک در اثر حرکت سیال در ترک.

**۱.۴. معادلات حاکم بر جریان سیال عبوری از ترک**  
به خاطر سادگی فرض بر این است که ترک در یک محیط همسان، غیرقابل تراکم و ارتجاعی خطی تحت شرایط کرنش صفحه‌یی منتشر می‌شود. همچنین فرض می‌شود که ترک توسط یک سیال تراکم‌ناپذیر نیوتونی از محلی واقع در طول ترک (برای مثال گمانه) به صورت شبه استاتیکی گسترش می‌یابد. با توجه به اینکه سیال با ذبح ثابت  $Q$  در ترک تزریق می‌شود، هدف تعیین طول ترک به عنوان تابعی از زمان و همچنین تعیین میزان بازشدنی ترک و فشار سیال به عنوان تابعی از زمان  $t$  و مکان  $s$  است.

$$\nabla \cdot \sigma + f^b = 0 \quad \Omega \quad (5)$$

$$\sigma \cdot n = f^t \quad \Gamma_t \quad \text{روی} \quad (6)$$

$$u = \bar{u} \quad \Gamma_u \quad \text{روی} \quad (7)$$

$$\sigma \cdot n^- = -\sigma \cdot n^+ = p^+ = -p^- = p \quad \Gamma_c \quad \text{روی} \quad (8)$$

در این روابط،  $\Gamma_t$ ،  $\Gamma_u$  و  $\Gamma_c$  به ترتیب مرز تنفس، جابجایی و ترک هستند.  $\sigma$  تانسور

تنش و  $f^b$  و  $f^t$  به ترتیب نیروی حجمی، نیروی سطحی و فشار سیال هستند.

فرم ضعیف یا اصل کار مجازی معادلات تعادل به صورت رابطه‌ی ۹ یا ۱۰ است:

$$W^{\text{int}} = W^{\text{ext}} \quad (9)$$

$$\int_{\Omega} \sigma : \varepsilon(u^*) d\Omega = \int_{\Omega} f^b \cdot u^* d\Omega + \int_{\Gamma_t} f^t \cdot u^* d\Gamma + \int_{\Gamma_c^+} p^+ \cdot u^{*+} d\Gamma + \int_{\Gamma_c^-} p^- \cdot u^{-*} d\Gamma \quad (10)$$

در معادله‌ی ۱۰  $f^b$  نیروی حجمی و  $u^*$  تغییرمکان مجازی است. از آنجایی که بر روی سطوح ترک  $p^- = p^+ = -p$  و کرنش‌ها و تغییرمکان‌ها کوچک هستند و با تعریف  $w^* = u^{*+} - u^{-*}$  که در آن  $w^*$  بازشدنی بین سطوح ترک است، معادله‌ی ۱۰ را می‌توان به صورت معادله‌ی نوشت:

$$\int_{\Omega} \sigma : \varepsilon(u^*) d\Omega = \int_{\Omega} f^b \cdot u^* d\Omega + \int_{\Gamma_t} f^t \cdot u^* d\Gamma + \int_{\Gamma_c^+} p \cdot w^* d\Gamma \quad (11)$$

معادله‌ی ۱۱، اصل کار مجازی شکست هیدرولیکی است.

#### ۲.۳. معادلات حاکم بر اجزاء محدود توسعه‌یافته

با گرسنگی معادله‌ی ۱۱ با استفاده از روش XFEM، در یک سیستم گستته از معادلات تعادل خطی، رابطه‌ی ۱۲ را تیجه می‌دهد:

$$K u^h = f \quad (12)$$

که در آن،  $K$  ماتریس سختی،  $u^h$  بردار درجات آزادی گره (برای هر دو حالت کلاسیک و غنی‌شده) و  $f$  بردار نیروی خارجی است. ماتریس و بردارهای کلی با سر هم‌کردن ماتریس و بردارهای هر المان محاسبه می‌شوند. ماتریس‌های  $K$  و  $f$  برای هر المان  $e$  به صورت رابطه‌های ۱۳ و ۱۴ تعریف می‌شوند:

$$K_{ij}^e = \begin{bmatrix} K_{ij}^{uu} & K_{ij}^{ua} & K_{ij}^{ub} \\ K_{ij}^{au} & K_{ij}^{aa} & K_{ij}^{ab} \\ K_{ij}^{bu} & K_{ij}^{ba} & K_{ij}^{bb} \end{bmatrix} \quad (13)$$

$$f_i^e = \left\{ f_i^u \quad f_i^a \quad f_i^{b1} \quad f_i^{b2} \quad f_i^{b3} \quad f_i^{b4} \right\}^T \quad (14)$$

و با درنظرگرفتن بازشدگی صفر در نوک ترک رابطه‌ی ۳۱ را خواهیم داشت:

$$\frac{1}{12\mu} w^r \frac{\partial P}{\partial s} \varphi_i(s) \Big|_{s=-L_1, L_2} = 0 \quad (31)$$

که در آن،  $L_1$  و  $L_2$  موقعیت نوک ترک نسبت به گمانه ( $s = 0$ ) هستند. براساس فرم ضعیف معادله‌ی روغن‌کاری رابطه‌ی ۳۲ را خواهیم داشت:

$$C_{ij}P_j = f_i \quad (32)$$

که در آن  $j$  و  $f_i$  به ترتیب از رابطه‌های ۳۳ و ۳۴ بدست خواهند آمد:

$$C_{ij} = \frac{1}{12\mu} \sum_{j=1}^N \int_{-L_1}^{L_2} w^r \frac{\partial \varphi_i}{\partial s} \frac{\partial \varphi_j}{\partial s} ds \quad (33)$$

$$f_i = \int_L \frac{\Delta w}{\Delta t} \varphi_i(s) ds \quad (34)$$

این معادلات، بیانگر وابستگی دوطرفه‌ی فشار سیال و بازشدگی ترک هستند.

### ۳.۴. اثر توامان جریان سیال و تغییرشکل سنگ

در مدل‌سازی شکست هیدرولیکی باید اثر توامان ۳ معادله‌ی ارجاعی، جریان سیال و رشد ترک در نظرگرفته شود. معادلات ارجاعی و جریان سیال عبارت‌اند از (رابطه‌های ۳۵ و ۳۶):

$$Kd = f(P - \sigma_{in-situ}) \quad (35)$$

$$\frac{\Delta w}{\Delta t} = CP \quad (36)$$

متغیر  $d$  در معادله‌ی ۳۵ بردار تغییرمکان است، که برای محاسبه‌ی بازشدگی ترک و  $\Delta w$  استفاده می‌شود.

معادلات توامان ۳۵ و ۳۶ با توجه به حضور جمله‌ی  $w^r$  در معادله‌ی جریان کاملاً غیرخطی است. پیچیدگی اصلی مسائل شکست هیدرولیکی ناشی از اثر توامان جریان سیال و معادله‌ی حاکم بر بازشدگی ترک است. برای حل این مسئله، یک فرآیند تکرار طراحی شده است. در ابتدای هر مرحله فرض می‌شود که توزیع فشار خالص معلوم است (که معمولاً همان توزیع فشار خالص در گام زمانی قبلی است). برای گام زمانی اول، یک توزیع نشار یکنواخت فرض شده است. سپس توزیع بازشدگی در امتداد ترک با استفاده از اجزاء محدود توسعه یافته محاسبه می‌شود و با حل معادله‌ی ۲۴ با استفاده از عرض بدست آمده در مرحله‌ی قبل و شرایط مرزی ۲۵ و ۲۶ یک توزیع سیال جدید بدست می‌آید. این فرآیند تا زمان رسیدن به هم‌گرایی ادامه می‌یابد. در این پژوهش از روش تکرار پیکاره ۱۷ استفاده شده است.<sup>[۵]</sup> که روابط آن به صورت رابطه‌های ۳۷ الی ۴۰ است:

$$P_{k+1} = C(w_k)^{-1} \left( \frac{\Delta w_k}{\Delta t_k} \right) \quad (37)$$

$$P_{k+1} = (1 - \alpha) P_k + \alpha P_{k+1} \quad (38)$$

$$d_{k+1} = K^{-1} (P_{k+1} - \sigma_c) \quad (39)$$

$$d_{k+1} \rightarrow w_{k+1} \quad (40)$$

در این نوشتار، برای مدل‌سازی سیال از معادله‌ی روغن‌کاری <sup>۱۳</sup> با شرط  $\frac{w^r}{\mu} \left( \frac{\partial q}{\partial t} \right) \ll 1$  استفاده شده است (رابطه‌ی ۲۴):<sup>[۱۵]</sup>

$$\frac{\partial w(s, t)}{\partial t} = \frac{1}{12\mu} \frac{\partial}{\partial s} \left( w^r(s, t) \frac{\partial P(s, t)}{\partial s} \right) \quad (24)$$

که در آن،  $h$  طول ترک،  $w(s, t)$  عرض ترک در نقطه‌ی  $s$  و زمان  $t$ ،  $\mu$  چگالی سیال،  $q$  شار در واحد ارتفاع ترک و  $\mu$  لزجت سیال است. پژوهشگرانی در مورد اعتبار و حدود تقریبی معادله‌ی روغن‌کاری برای توصیف جریان سیال در داخل ترک بحث کردند.<sup>[۱۶]</sup> بر مبنای تجزیه و تحلیل آنها، باید جریان سیال لایه‌ی <sup>۱۴</sup> باشد و عرض بازشدگی ترک در مقایسه با سایر ابعاد کوچک در نظرگرفته شود. شرایط مرزی جریان سیال عبوری از ترک عبارت است از:

- در محل گمانه، شار سیال برابر با نزد تزریق است (رابطه‌ی ۲۵):

$$q(0) = Q. \quad (25)$$

- در نوک ترک، بازشدگی ترک برابر صفر است:  $w(l) = 0$ :

- در نوک ترک جریانی وجود ندارد:  $q(l) = 0$ :

- در نوک ترک داریم (رابطه‌ی ۲۶):

$$w(t) \frac{\partial P(t)}{\partial x} = 0, \quad at \quad x = 0. \quad (26)$$

### ۲.۴. گسسته‌سازی معادله‌ی جریان

برای حل معادله‌ی ۲۴، از روش گالرکین <sup>۱۵</sup> استاندارد استفاده می‌شود، که در آن فشار خالص سیال به صورت رابطه‌ی ۲۷ تقریب زده می‌شود:

$$p_i = \sum_{i=1}^N \varphi_i(s) p_i \quad (27)$$

که در آن،  $(s)_i$  تابع شکل برای نقطه‌ی  $i$  و  $p_i$  مقدار گره‌ی فشار خالص در گره‌ی  $i$  است. در مورد المان‌های خطی، گرادیان فشار در هر المان ثابت خواهد بود. فرم ضعیف <sup>۱۶</sup> معادله‌ی ۲۴ به صورت معادله‌ی ۲۸ است:

$$\int_L \frac{\Delta w}{\Delta t} \varphi_i(s) ds = \frac{1}{12\mu} \int_L \frac{\partial}{\partial s} \left( w^r(s, t) \frac{\partial P}{\partial s} \right) \varphi_i(s) ds \quad (28)$$

اتگرال سمت راست معادله‌ی ۲۸ به صورت معادله‌ی ۲۹ است:

$$\begin{aligned} \frac{1}{12\mu} \int_L \frac{\partial}{\partial s} \left( w^r(s, t) \frac{\partial P}{\partial s} \right) \varphi_i(s) ds &= \frac{1}{12\mu} w^r \frac{\partial P}{\partial s} \varphi_i(s) \Big|_{s=-L_1}^{s=L_2} \\ &\quad - \frac{1}{12\mu} \sum_{j=1}^N \int_{j-1-L_1}^{L_2} P_j w^r \frac{\partial \varphi_i}{\partial s} \frac{\partial \varphi_j}{\partial s} ds \end{aligned} \quad (29)$$

با توجه به شرایط مرزی ذکرشده، در محل گمانه، رابطه‌ی <sup>۳۰</sup> برقرار است:

$$\frac{1}{12\mu} w^r \frac{\partial P}{\partial s} \varphi_i(s) \Big|_{s=0} = Q \cdot \varphi_i(0) \quad (30)$$

در این مدل فشار سیال تابعی از طول ترک و طول ترک نیز تابعی از زمان است، بنابراین می‌توان فشار سیال را به عنوان تابعی از زمان بیان کرد. فشار محرك<sup>۱۹</sup>,  $p_d$  که حاصل تفاضل فشار سیال از تنفس برجای کمیته است، به صورت رابطه‌ی ۴۳ به دست می‌آید:

$$p_d = C_1 t^{-\frac{1}{\gamma}} \quad (43)$$

که در آن،  $C_1$  از رابطه‌ی ۴۴ به دست می‌آید:

$$C_1 = 1,38 \left( \frac{G^\gamma \mu^\gamma}{(1-\nu)^\gamma} \right)^{\frac{1}{\gamma}} \quad (44)$$

که در آن،  $G$  مدول برشی،  $\mu$  لزجت سیال و  $\nu$  نسبت پواسون است. طول ترک،  $L$ ، میزان فاصله از دهانه ترک است، که تابعی از زمان تزریق سیال است (رابطه‌ی ۴۵):

$$L = C_2 t^{\frac{1}{\gamma}} \quad (45)$$

که در آن، مقدار  $C_2$  از رابطه‌ی ۴۶ به دست می‌آید:

$$C_2 = 0,68 \left( \frac{G Q^\gamma}{(1-\nu) \mu h^\gamma} \right)^{\frac{1}{\gamma}} \quad (46)$$

بازشدگی، فاصله‌ی بین دو صفحه‌ی ترک است. به بازشدگی در نقطه‌ی آغازین انتشار (برای ترکی که از چاه آغاز شده است) بازشدگی دهانه می‌گویند. بازشدگی نیز تابعی از زمان تزریق سیال است (رابطه‌ی ۴۷):

$$w = C_3 t^{\frac{1}{\gamma}} \quad (47)$$

که در آن،  $C_3$  از رابطه‌ی ۴۸ به دست می‌آید:

$$C_3 = 1,87 \left( \frac{(1-\nu) \mu Q^\gamma}{G h^\gamma} \right)^{\frac{1}{\gamma}} \quad (48)$$

که در آن،  $h$  ارتفاع سیال و  $Q$  دبی تزریق سیال در محل گمانه است.

## ۶. تحلیل مسئله‌ی شکست هیدرولیکی کلاسیک به روش عددی و KGD

در این پژوهش جهت انجام مدل‌سازی از یک برنامه‌ی رایانه‌ی پایه‌ی مکانیک شکست به نام MXFEM استفاده شده است.<sup>[۲۰]</sup> سپس برنامه‌ی موجود برای مدل‌سازی شکست هیدرولیکی توسعه داده شده و HF-XFEM نام‌گذاری شده است.

در این بخش تحلیل عددی مسئله‌ی شکست هیدرولیکی با استفاده از نرم‌افزار HF-XFEM ارائه و نتایج آن با حل تحلیلی KGD مقایسه شده است.

اکنون به حل مسئله‌ی شکست هیدرولیکی نشان داده شده در شکل ۷ پرداخته شده است. خصوصیات مصالح و پارامترهای مسئله به شرح جدول ۱ است. برای مدل‌سازی شکست هیدرولیکی فرض شده است که ترک لبه‌ی اولیه‌ی به طول ۲/۹ متر وجود دارد. در مدل‌سازی XFEM محیط سنگی از المان‌های مرتعی یکنواخت به ابعاد ۱/۴ متر استفاده شده است.

یکی از محدودیت‌های روش تکرار پیکارد این است که مقدار اولیه‌ی استفاده شده در حلقه‌ی تکرار باید نزدیک به جواب درست باشد. هم‌گرایی حلقه‌های تکرار در هر مرحله، با بررسی میانگین خطای فشار توزیع شده در تمام المان‌ها مورد ارزیابی قرار می‌گیرد. این معیار هم‌گرایی به صورت رابطه‌ی ۴۱ نوشته می‌شود:

$$\frac{\sum_{i=1}^N |P_i^{(n)} - P_i^{(n-1)}|}{\sum_{i=1}^N |P_i^{(n)}|} \leq \varepsilon \quad (41)$$

که در آن،  $\varepsilon$  روداری از پیش تعیین شده و  $P_i^{(n)}$  فشار در گره‌ی  $i$ ام در حلقه‌ی  $n$  است.

گام‌های زمانی در شبیه‌سازی شکست هیدرولیکی از رابطه‌ی ۴۲ تعیین می‌شود:

$$Q_0 = \int_0^L \frac{\Delta w}{\Delta t} ds \quad (42)$$

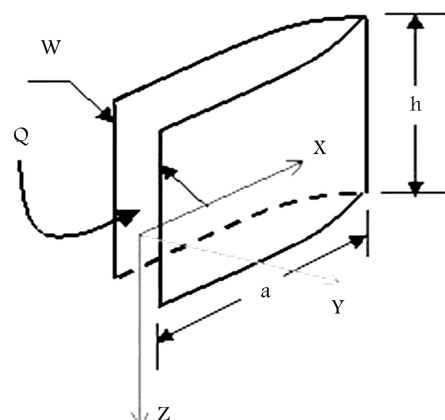
در بخش انتشار مسئله، ضریب شدت تنفس در معیار گسترش ترک اردوغان - سی<sup>۱۸</sup> برای تعیین راستای شکست هیدرولیکی مورد استفاده قرار می‌گیرد.<sup>[۱۸]</sup>

## ۵. مدل تحلیلی دوبعدی گرتسمما و دی‌کلرک

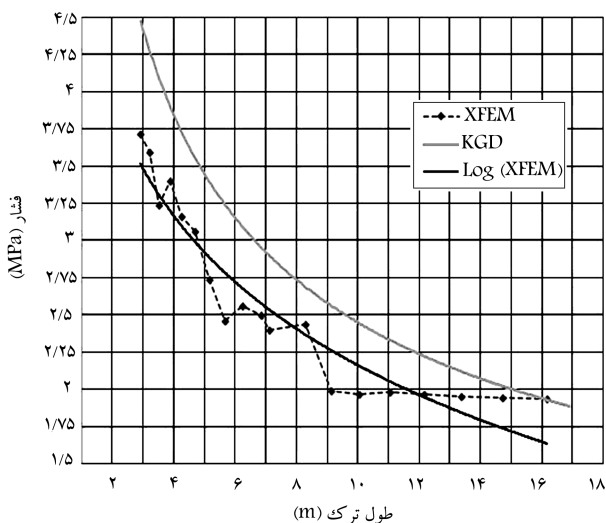
به دلیل پیچیدگی مسائل شکست هیدرولیکی، هیچ راه حل دقیقی جهت بررسی دقت نتایج مدل وجود ندارد. در پژوهشی در سال ۱۹۶۹، یک راه حل تقریبی برای یک ترک دوبعدی با سیال نیوتونی ارائه شده است، که به مدل KGD معروف است.<sup>[۱۹]</sup> در این مدل، بازشدگی ترک در ارتفاع ترک، ثابت در نظر گرفته می‌شود (شکل ۶).

در مدل KGD، چنین فرض شده است سنگ مخزنی که شکست هیدرولیکی در آن رخ می‌دهد، همکن و همسان‌گرد و تغییرشکل‌ها به صورت ارتقای خطی و جریان سیال در ترک لایه‌یی است. همچنین نرخ جریان در هر مکانی از ترک برابر نرخ تزریق سیال در نظر گرفته شده است.

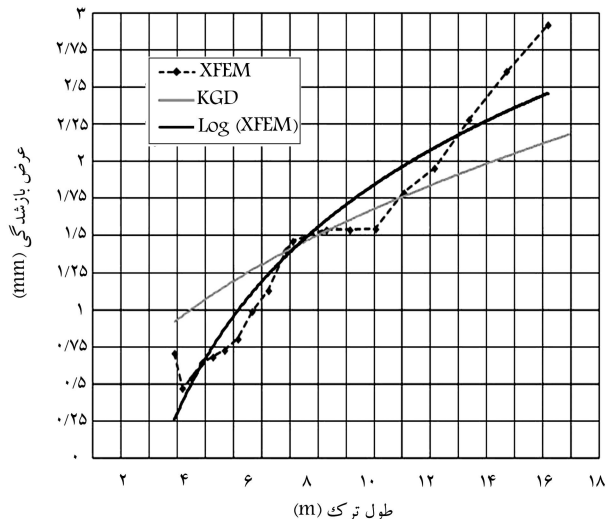
در مدل KGD، در شرایط جریان لایه‌یی، جریان سیال در ترک در مقابل مقاومت ناشی از لزجت سیال قرار دارد، که میزان این مقاومت با کاهش فشار (در فواصل دورتر از نقطه‌ی تزریق سیال) تنزل می‌یابد.



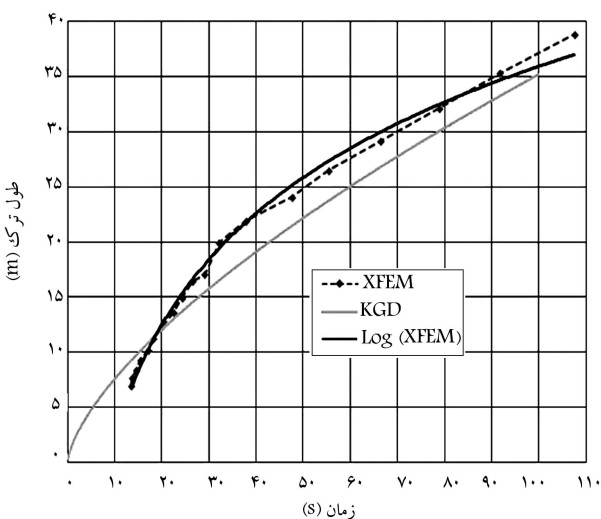
شکل ۶. طرح‌واره‌ی مدل KGD (گرتسمما و دی‌کلرک ۱۹۸۹).



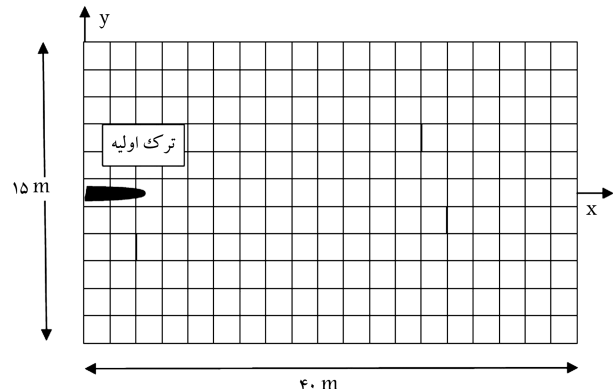
شکل ۸. فشار ترک در گمانه برای مدل KGD و مدل عددی.



شکل ۹. بازشدگی ترک در گمانه برای مدل KGD و مدل عددی.



شکل ۱۰. طول ترک در مقابل زمان تزریق برای مدل KGD و مدل عددی.



شکل ۷. مدل عددی شکست هیدرولیکی.

جدول ۱. داده‌های ورودی برای مقایسه مدل KGD و مدل عددی.

پارامتر	مقدار
مدول کشسانی ( $E$ )	$4 \times 10^6$ psi ( $27,579$ GPa)
مدول برشی ( $G$ )	$1.6 \times 10^6$ psi ( $11,032$ GPa)
نسبت پواسون ( $\nu$ )	0.25
نحو تزریق ( $Q_0$ )	5 bbl/min ( $0,0132$ m <sup>3</sup> /s)
لزجت سیال شکست ( $\mu$ )	400 cP
ارتفاع ترک ( $h$ )	100 ft ( $30.45$ m)

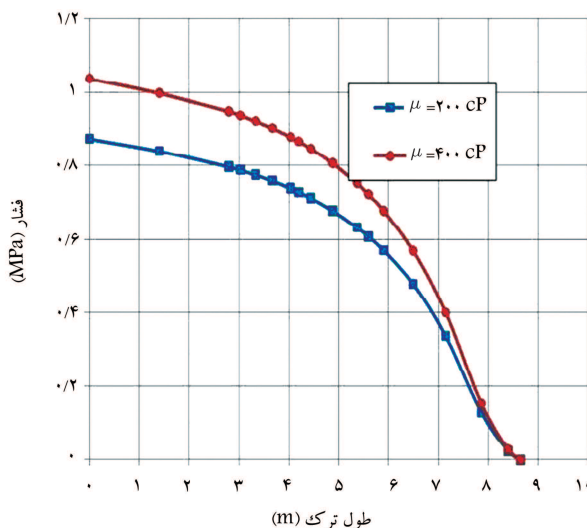
در این نوشتار فرض بر این است که سیال شکست نیوتی باشد و با نرخ ثابت تزریق شود. در مدل عددی از المان‌های خطی برای مدل‌سازی جریان سیال در ترک استفاده شده است.

از آنجایی که فشار در مدل KGD فشار خالص است، برای مقایسه ساده‌تر در این مدل‌سازی عددی از تنش‌های برجا صرف‌نظر و شکست هیدرولیکی به صورت یک ترک لبه‌بی<sup>۲۱</sup> مدل‌سازی شده است. ارتفاع ترک در مدل KGD برابر ۱۰۰ ft ( $30.45$  m) در نظر گرفته شده است.

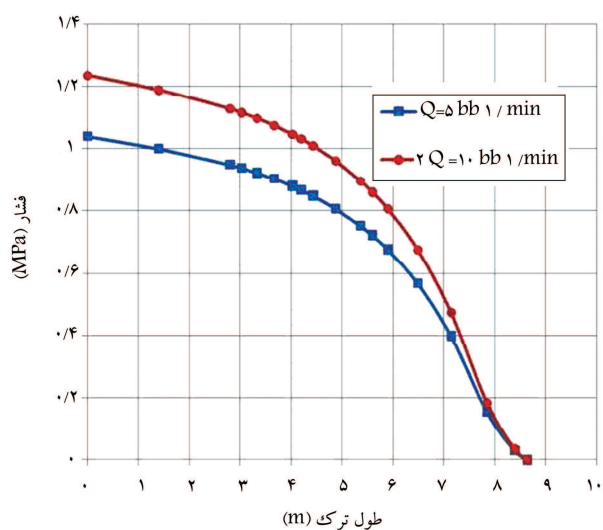
اکنون اثر تأمیان معادله‌های ۳۵ و ۳۶ که به صورت غیرخطی هستند، بر یکدیگر در نظر گرفته شده است. پس از انجام آنالیز مسئله‌ی ذکر شده به مقایسه‌ی نتایج حاصل از تحلیل عددی XFEM شکست هیدرولیکی و حل KGD پرداخته شده است.

فشار و بازشدگی گمانه‌ی حاصل از تحلیل عددی و تحلیل KGD به ترتیب در شکل‌های ۸ و ۹ رسم شده است. همان‌طور که در نمودارها ملاحظه می‌شود، مقدار فشار در محل دهانه ترک (محل گمانه) با زمان کاهش یافته است، در حالی که بازشدگی دهانه ترک افزایش پیدا کرده است. نتایج حاصل از فرض یک ارتفاع نامحدود برای ترک (هندسه‌ی KGD) است، که نشان می‌دهد برای بازشدگی یکسان، ترک‌های طولانی تر نیازمند فشار کمتر هستند. اما واقعیت نشان می‌دهد که با افزایش طول ترک به ندرت فشار کاهش می‌یابد. شکل ۱۰، نیز میزان رشد طول ترک هیدرولیکی را در مقابل زمان نشان می‌دهد.

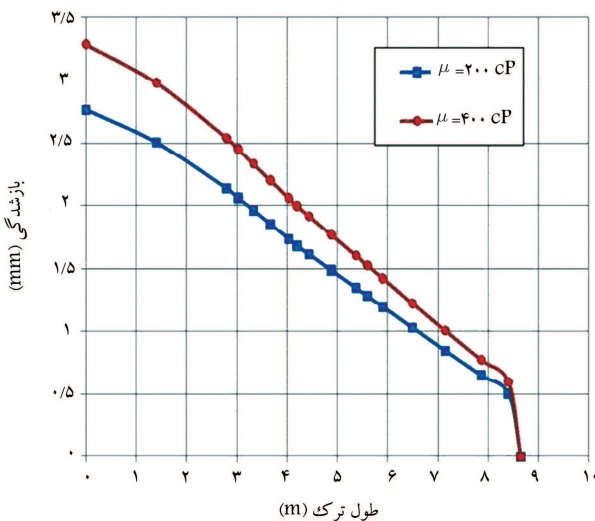
در این قسمت، برای بررسی اثرات تغییر نحو تزریق سیال شکست، آزمایش‌های عددی یکسانی با مقادیر مختلف نحو تزریق انجام شده است (شکل‌های ۱۱ و ۱۲). نتایج آزمایش‌ها نشان می‌دهد که نرخ تزریق بالاتر باعث ایجاد فشار بیشتر در طول



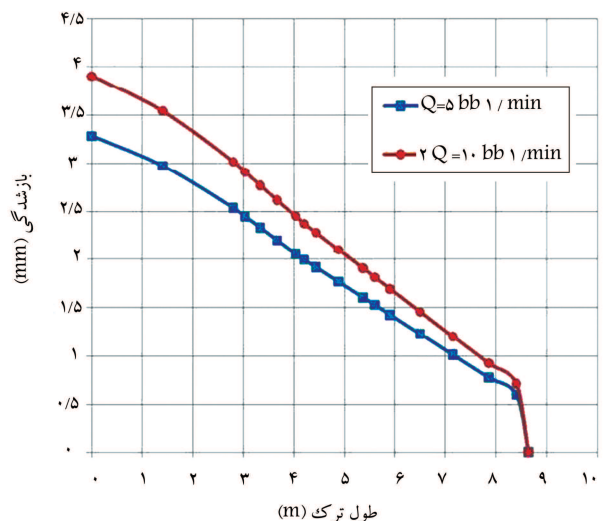
شکل ۱۳. اثر مقادير مختلف لزجت سیال در پروفیل فشار.



شکل ۱۱. اثر ناخ تزریق سیال گوناگون بر روی فشار.



شکل ۱۴. اثر مقادير مختلف لزجت سیال بر بازشدگي.



شکل ۱۲. اثر ناخ تزریق سیال گوناگون بر روی بازشدگي گمانه.

## ۷. نتیجه‌گیری

در این نوشتار پدیده‌ی شکست هیدرولیکی در مخازن نفتی به روش XFEM مدل‌سازی شده است. در مدل‌سازی شکست هیدرولیکی به روش XFEM، بسیاری از معایب روش اجزاء محدود کلاسیک برطرف شده است. در این پژوهش، شکست هیدرولیکی بدون نیاز به منابعی مجدد در هر مرحله از رشد ترک و بدون استفاده از مش ریز در نزدیکی نوک و طول ترک مدل‌سازی شده است.

خروجی‌های بدست‌آمده از برنامه‌ی رایانه‌ی نوشته شده با مدل KGD صحبت‌سنجی شده است. نتایج نشان می‌دهد که مقدار فشار گمانه، با افزایش طول ترک کاهش می‌یابد، در حالی که بازشدگی ترک در محل گمانه افزایش پیدا می‌کند. همچنین ملاحظه شد که برای افزایش استحصال مواد هیدرولیکی باید عرض بازشدگی افزایش یابد، که برای این کار می‌توان میران لزجت سیال شکست هیدرولیکی و یا دبی تزریق آن را افزایش داد.

ترک می‌شود. همچنین در ناخ تزریق بالاتر، بازشدگی بیشتر که به علم فشار بیشتر است، ناخ خواهد داد. همان‌طور که در شکل‌های ۱۱ و ۱۲ مشاهده می‌کیم، بین عرض ترک، ناخ تزریق و فشار سیال اثر متقابل وجود دارد، اما دو برابر شدن ناخ تزریق باعث دو برابر شدن فشار و بازشدگی نمی‌شود. در بخشی دیگر از این نوشتار، اثر تغییرات لزجت سیال بر روی میران بازشدگی و فشار مورد بررسی قرار گرفته است. شکل ۱۳ نشان می‌دهد که با افزایش عرض ترک به دلیل مقاومت اضافه شده جهت وارد کردن سیال در ترک، فشار افزایش می‌یابد. از طرفی دیگر، در ناخ تزریق یکسان، افزایش لزجت باعث افزایش عرض ترک می‌شود (شکل ۱۴).

بنابراین نتیجه می‌گیریم که لزجت سیال باید به اندازه‌ی کافی بالا باشد تا به تبع آن عرض ترک بالا رود و بروپانت بتواند به راحتی در طول ترک عبور کند. لذا در صنعت برای افزایش لزجت سیال از زنجیره‌های پلیمری خاصی استفاده می‌شود.

## پانوشت‌ها

1. Dow Chemical
2. Kansas
3. Hugoton
4. Proppant
5. Geertsma and de Klerk
6. Perkins, Kern and Nordgren
7. discontinuum displacement analysis (DDA)
8. extended finite element method (XFEM)
9. heaviside function
10. singular function
11. traction
12. coupled model
13. lubrication
14. laminar
15. Galerkin
16. weak form
17. picard
18. Erdogan-Sih
19. driving pressure
20. analytical solution
21. edge crack

## منابع (References)

1. Grebe, J.J., Stoesser, M. "Increasing crude production 20,000,000 bbl. from established fields", *World Petroleum J.*, pp. 82-482 (August 1935).
2. Veatch, R.W., Moschovidis, Z.A. and Fast, C.R. "An overview of hydraulic fracturing", In: Gidley, Holditch, Nierode, Veatch, editors, *Recent Advances in Hydraulic Fracturing, Monograph*, **12**, Richardson: Society of Petroleum Engineers, pp. 138 (1989).
3. Valk, P. and Economides, M.J., *Hydraulic Fracture Mechanics*, Wiley (1995).
4. Adachi, J. and et al. "Computer simulation of hydraulic fractures", *International Journal of Rock Mechanics & Mining Sciences*, **44**(5), pp. 739-757 (2007).
5. Yew, C.H., *Mechanics of Hydraulic Fracturing*, Gulf Publishing Company, Houston, Texas (1997).
6. Cleary, M. and Wong, S. "Numerical simulation of unsteady fluid flow and propagation of a circular hydraulic fracture", *International Journal of Numerical and Analytical Methods in Geomechanics*, **9**(1), pp. 1-14 (1985).
7. Yew, C.H. and Liu, G.F. "Fracture tip and critical stress intensity factor of a hydraulically induced fracture", *SPE Production and Facilities*, **8**(3), pp. 171-177 (1993).
8. Advani, S.H. and Lee, J.K. "Finite element simulations associated with hydraulic fracturing", *SPE 8941*, pp. 209-18 (1993).
9. Lecampion, B. "An extended finite element method for hydraulic fracture problems", *Communications in Numerical Methods in Engineering*, **25**(2), pp. 121-133 (2008).
10. QingWen, R., YuWen, D. and Tian Tang, Y. "Numerical modeling of concrete hydraulic fracturing with extended finite element method", *Science in China Series E: Technological Sciences*, **52**(3), pp. 559-565 (2009).
11. Chandrupatla T.R. and Belegundu A.D., *Introduction to Finite Elements in Engineering*, Second Edition, Prentice Hall Press, New Jersey, pp. 1-174 (1997).
12. Belytschko, T. and Black, T. "Elastic crack growth in finite elements with minimal remeshing", *International Journal for Numerical Methods in Engineering*, **45**(5), pp. 601-620 (1999).
13. Moës, N., Dolbow, J. and Belytschko, T. "A finite element method for crack growth without remeshing", *International Journal for Numerical Methods in Engineering*, **46**(1), pp. 131-150 (1999).
14. Fleming, M., Chu, Y.A., Moran, B. and Belytschko, T. "Enriched element-free Galerkin methods for crack tip fields", *International Journal for Numerical Methods in Engineering*, **40**(88), pp. 1483-1504 (1997).
15. Batchelor, G.K., *An Introduction to Fluid Dynamics*, Cambridge University Press, Cambridge, UK (1967).
16. Nilson, R.H. "Similarity solutions for wedge-shaped hydraulic fracture driven into a permeable medium by a constant inlet pressure", *International Journal for Numerical and Analytical Methods in Geomechanics*, **12**(5), pp. 477-495 (1988).
17. Spence, D.A. and Sharp, P.W. "Self-similar solution for elastohydrodynamic cavity flow", *Proceedings of the Royal society of London, Series A* (400), pp. 289-313 (1985).
18. Erdogan, F. and Sih, G.C. "On the crack extension in plates under loading and transverse shear", *Journal of Basic Engineering*, **85**(4), pp. 519-527 (1963).
19. Geertsma, J., de klerk F.A rapid method of predicting with and extent of hydraulically induced fractures. *J Pet Tech*, **21**, pp.81-1571 (1969).
20. Pais, M. MATLAB Extended Finite Element (MxFEM) Code (2011).